

Ag/p-Si SCHOTTKY DİYOT YAPISININ BAZI PARAMETRELERİNİN TAYINI

Necati YALÇIN

Erciyes Üniversitesi Fen-Edebiyat Fakültesi, Fizik Bölümü, KAYSERİ

Abdülmecit TÜRÜT, Sebahattin TÜZEMEN

Atatürk Üniversitesi Fen-Edebiyat Fakültesi, Fizik Bölümü, ERZURUM

ÖZET

Bu çalışmada [111] doğrultulu ve  $\rho=11,50 \Omega\text{-m}$  özdirençli p-tipi silisyum kristali ile hazırlanan Ag/p-Si Schottky diyodunun idealite faktörü ( $n$ ), engel yüksekliği ( $\Phi_B$ ), seri direnci ( $R$ ), difüzyon potansiyeli ( $V_{dif}$ ) ve akseptör yoğunluğu ( $N_a$ ) gibi parametreleri bulundu.  $n$ ,  $\Phi_B$  ve  $R$  için;  $dV/d(\ln I) = IR + n/\beta$ ,  $H(I) = V - (n/\beta)\ln(I/SA^*T^2)$  ve

$$I(V) = I_s \exp[\alpha(V_{dif} + V)^{1/4}] \text{ fonksiyonları; } V_{dif} \text{ ve } N_a \text{ için}$$

$$C(V) = S[q \epsilon \epsilon_0 N_a / 2(V_{dif} + V)]^{1/2} \text{ fonksiyonu kullanıldı.}$$

DETERMINATION OF SOME PARAMETERS OF Ag/p-Si SCHOTTKY DIODE

SUMMARY

In this work, the parameters like the ideality factor ( $n$ ), potential barrier height ( $\Phi_B$ ), diode series resistance ( $R$ ), diffusion potential ( $V_{dif}$ ) and acceptor density of Ag/p-Si Schottky diode prepared from p-type silicon crystal having a resistivity of  $11.50 \Omega\text{-m}$  and the [111] direction are found. The functions  $dV/d(\ln I) = IR + n/\beta$ ,  $H(I) = V - (n/\beta)\ln(I/SA^*T^2)$  and  $I(V) = I_s \exp[\alpha(V_{dif} + V)^{1/4}]$  are used to determine  $n$ ,  $\Phi_B$  and  $R$ . The function  $C(V) = S[q \epsilon \epsilon_0 N_a / 2(V_{dif} + V)]^{1/2}$  is also used for  $V_{dif}$  and  $N_a$ .

## GİRİŞ

Metal-yarıiletken Schottky yapılarında akım-gerilim (I-V) karakteristikleri, seri direnç etkisi göz önünde bulundurularak, ilk defa Norde [1] tarafından Au/n-Si, PtSi/n-Si ve Pd<sub>2</sub>/n-Si yapıları üzerinde incelenmiştir. Daha sonra benzer bir çalışma Sato ve Yasumura [2] tarafından yapılmıştır. Fakat Norde fonksiyonları ile yapılan incelemlerde en az iki farklı sıcaklıkta ölçülen I-V karakteristiklerine ihtiyaç vardır ve R seri direncin bulunmasında, Norde fonksiyonun minimumunun tesbitindeki belirsizlikten dolayı, %40'a varan bir hata yapılmaktır. Bu konuda Cheung'lar [3] tarafından ortaya atılan  $dV/d(\ln I) = IR + n/(q/kT)$  ve  $H(I) = IR + n \Phi_B$  fonksiyonları kullanılarak tek bir I-V karakteristiği ile diyot parametreleri ( $n$ ,  $\Phi_B$  ve  $R$ ) daha kolay ve sağlıklı bir şekilde tayin edilebilmektedir. Burada V uygulanan gerilim, I akım, R seri direnç, q elektron yükü, k Boltzmann sabiti, T mutlak sıcaklık, n idealite faktörü ve  $\Phi_B$  engel yüksekliğidir.

Bu çalışmada, Ag/p-Si Schottky diyodunun akım-gerilim (I-V) ve siga-gerilim (C-V) karakteristikleri seri direnç etkisi dahil edilerek incelendi. Doğru beslem I-V ölçülerinden  $dV/d(\ln I) - I$  ve  $H(I) - I$  grafikleri, ters beslem I-V ölçülerinden  $\ln I - (V_{dif.} + V)^{1/4}$  Schottky grafikleri çizilerek diyot parametreleri ( $n$ ,  $\Phi_B$  ve  $R$ ) tayin edildi. C-V karakteristiklerinden de akseptör yoğunluğu  $N_A$  ve difüzyon potansiyeli  $V_{dif.}$  hesaplandı. Genel olarak üç ayrı yoldan elde edilen potansiyel engel yüksekliklerinin uyum içinde olduğu gösterildi.

## TEORİ

Termiyonik emisyon modelinin geçerli olduğu ideal Schottky diyotlarının doğru beslem I-V karakteristikleri

$$I = I_S [\exp(qV_D/kT) - 1] \quad (1)$$

denklemiyle verilir [4]. Fakat birçok halde ideal durumdan sapmalar nedeniyle I-V karakteristikleri

$$I = I_s [\exp(qV_D/nkT) - 1] \quad (2)$$

şeklindedir. Burada  $V_D$  Schottky engelinde düşen gerilim ve  $n$  idealite faktöründür ve ideal diyot halinde  $n=1$  olur. Doyma akımı  $I_s$

$$I_s = SA^* T^2 \exp(-q \Phi_B/kT) \quad (3)$$

olup, burada  $A^*$  Richardson sabiti ve  $S$  diyodun etkin alanıdır. p-tipi silisyum için  $A^* = 93 \times 10^4 \text{ A/K}^2 \text{ m}^2$  şeklinde verilebilir [5].

Diyodun  $R$  gibi bir seri dirence sahip olması durumunda, yapıya uygulanan gerilim, Schottky bölgesinde düşen gerilimle  $R$  direnci üzerinde düşen gerilimin toplamı olacağından (2) denklemi

$$I = I_s \exp[q(V - IR)/nkT] - 1 \quad (4)$$

şeklinde yazılabilir. Burada  $V$  uygulanan gerilim ve  $IR$  de seri direnç üzerinde düşen gerilimdir.  $(V-IR) / 3kT/q$  şartını sağlayan gerilimlerde doyma akımı, doğru beslem akımı yanında ihmal edilebilir ve (4) denklemi

$$I = I_s \exp[q(V - IR)/nkT] \quad (5)$$

, haline gelir. Bu denklemlerden  $V$  çözülmürse;

$$V = IR + n \Phi_B + (n/\beta) \ln(I/SA^* T^2) \quad (6)$$

elde edilir. Burada  $\beta = q/kT$ 'dır. (6) denkleminin  $\ln I$ 'ya göre türevi alınırsa;

$$dV/d(\ln I) = IR + n/\beta \quad (7)$$

ifadesi elde edilir. Cheung'lar [3], engel yüksekliği  $\Phi_B$ 'yi bulmak için;

$$H(I) = V - (n/\beta) \ln(I/SA^*T^2) \quad (8)$$

fonksiyonunu tanımlamışlardır. (6) denklemi (8) denkleminde yerine yazılmak suretiyle;

$$H(I) = IR + n\Phi_B \quad (9)$$

olduğu görülebilir. Böylece (7) ve (9) denklemelerine göre  $dV/d(\ln I) - I$  ve  $H(I) - I$  grafikleri birer doğrudur. Bu doğruların  $dV/d(\ln I)$  ve  $H(I)$  eksenlerini kestiği noktalardan sırasıyla  $n$  ve  $\Phi_B$ , eğimlerinden de  $R$  tayin edilebilir.

Ters beslem durumunda, akım iletimi termiyonik emisyonla  $\Phi_B$  engelini aşarak metalden yarı iletken geçen taşıyıcılarla sağlandığından, akım bağıntısı (3) denklemiyle verilir, Ancak Schottky etkisinden dolayı engelin gerilime bağlı olarak alçalması nedeniyle akım, zayıfca gerilime bağlıdır ve I-V karakteristiği;

$$I = SA^*T^2 \exp(-q\Phi_B/kT) \exp[\alpha(V_{dif} + V)^{1/4}] \quad (10)$$

ile verilir [6].  $\alpha$  sabiti

$$\alpha = \{ (q^2 N_a) / [8(\epsilon \epsilon_0)^3 \pi^2 (kT)^4] \}^{1/4} \quad (11)$$

şeklindedir. Burada  $N_a$  akseptör yoğunluğu,  $\epsilon (=11,8)$  Si yarıiletkeninin dielektrik sabiti ve  $\epsilon_0 (=8,85 \times 10^{-12} F/m)$  serbest uzayın elektriksel geçirgenliğidir. (10) denklemine göre  $\ln I = (V_{dif} + V)^{1/4}$  Schottky grafığının  $\ln I$  eksenini kestiği noktadan (3) denklemi kullanılarak, engel yüksekliği;

$$\Phi_B = (kT/q) \ln(SA^*T^2/I_s) \quad (12)$$

ifadesinden bulunur.

Schottky tabakasının genişliği

$$d = \{[(2\epsilon\epsilon_0)/(qN_a)](V_{dif} + V)\}^{1/2} \quad (13)$$

şeklinde verilmektedir. Bu tabakadaki yük yoğunluğu  $-qN_a$  olduğundan, d genişliği ve S yüzeyine sahip Schottky engeli bölgesindeki toplam yük;

$$Q = -qN_a S d = -S[2\epsilon\epsilon_0 q N_a (V_{dif} + V)]^{1/2} \quad (14)$$

olur. Küçük sinyal sığası, uygulanan gerilimle Q yükünün değişim miktarı olduğundan, C-V karakteristiği,

$$C = (dQ/dV) = -S[(\epsilon\epsilon_0 q N_a)/2(V_{dif} + V)]^{1/4} \quad (15)$$

olarak elde edilir. Böylece C-V karakteristiği

$$C^{-2} = [2(V_{dif} + V)/(S^2 q \epsilon\epsilon_0 N_a)] \quad (16)$$

denklemine uyacaktır [6]. Buna göre  $C^{-2}$ -V grafiğinin eğiminden akseptör yoğunluğu  $N_a$  ve doğrunun V eksenini kestiği noktadan difüzyon potansiyeli  $V_{dif}$  bulunabilir.

#### DENEYSEL SONUÇLAR VE TARTIŞMA

Bu çalışmada kullanılan [111] doğrultulu p-tipi silisyum kristallerinin özdirencinin  $p=11,50 \Omega -m$  olduğu van der Pauw teknigi ile yapılan Hall olayı ölçümleri ile tayin edilmiştir [7]. Schottky diyon yapımı için, kimyasal olarak temizlenmiş (chemically etched)  $20-35 \mu m$  kalınlığındaki silisyum kristallerinin yüzeylerinden birine Al (99,99 saflikta) metali ile omik kontak, diğerine de Ag (99,99 saflikta) metali ile doğrultucu kontak uygulandı. Buharlaştırma işlemleri  $10^{-5}$  Torr basınçta gerçekleştirildi.

Ag/p-Si Schottky diyonun klasik dc yöntemiyle ölçülen I-V karakteristiği Şekil-1'de görülmektedir. Doğru beslem karakteristiğinin  $V >> IR$  bölgesindeki I-V verilerinden elde edilen  $dV/d(\ln I)-I$  ve  $H(I)-I$

grafikleri Şekil-2'de verilmiştir. Bu grafiklerden diyot parametreleri;  $n=1,34$ ,  $q\Phi_B=0,62$  eV ve  $R=515\Omega$  olarak elde edilmiştir.

Şekil-1'deki ters beslem I-V grafiğinin doyma bölgesinde akımın gerilime kısmen bağlı olduğu görülmektedir. Bu, imaj-kuvvet etkisi ile engel alçamasından ileri gelmektedir. Bu durumda, I-V bağıntısı (10) denklemiyle verilecektir ve  $\ln I-(V_{dif}+V)^{1/4}$  Schottky grafiği, Şekil-3'te görüldüğü gibi bir doğrudur. Bu grafikten, (12) bağıntısı yarışımıyla engel yüksekliği  $q\Phi_B=0,60$  eV olarak bulunmuştur. Grafik çiziminde, Şekil-4'deki C<sup>-2</sup>-V grafiğinden bulunan  $qV_{dif}=0,30$  eV değeri kullanılmıştır. Engel yüksekliği için H(I)-I ve  $\ln I-(V_{dif}+V)^{1/4}$  grafiklerinden bulunan değerlerin birbiriyle uyum içinde oldukları görülmektedir.

Çalışmada kullanılan p-tipi silisyum kristalleri için oda sıcaklığında özdirenç  $p=11,50\Omega\cdot m$ , taşıyıcı hareketliliği  $\mu_p=450\text{ cm}^2/\text{V}\cdot\text{s}$  ve valans bandındaki hal yoğunluğu  $N_v=1,04\times 10^{25}\text{ m}^{-3}$  değerleri [4]

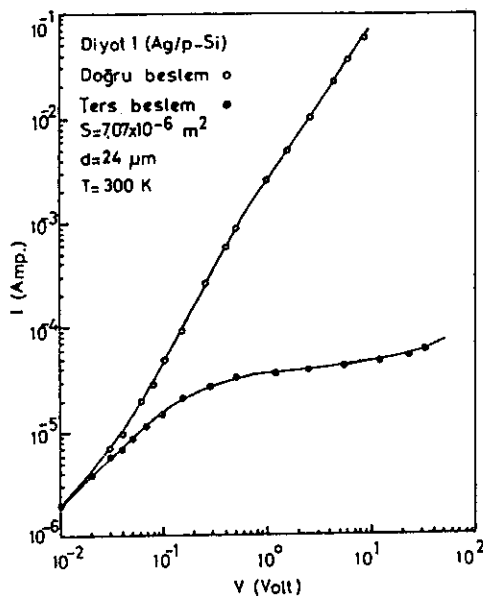
$$p = 1/(\rho \mu_p q) = N_v \exp(-E_f/kT) \quad (17)$$

denkleminde yerlerine yazılırsa,  $p=1,21\times 10^{19}\text{ m}^{-3}$  ve  $E_f=0,34$  eV elde edilir. Burada  $p$  yarıiletkendeki serbest taşıyıcı yoğunluğu ve  $E_f$  valans bandından ölçülen Fermi enerjisidir. Bu durumda, engel yüksekliği  $q\Phi_B=qV_{dif}+E_f=0,64$  eV olmalıdır. Bu da I-V verilerinden elde edilen engel yükseklikleri ile uyuşmaktadır.

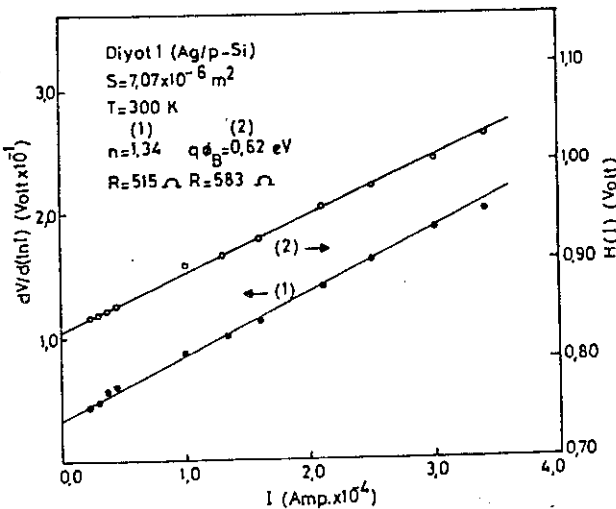
Oda sıcaklığında ve küçük sinyal frekansının  $f=500\text{ kHz}$  olması durumunda elde edilen Şekil-4'deki C-V karakteristiğinden akseptör yoğunluğu  $N_a=1,15\times 10^{19}\text{ m}^{-3}$  olarak tayin edilmiştir. Yarıiletkende serbest taşıyıcı yoğunluğunun tamamı, iyonize olmuş akseptörlerden sağlanıyorsa  $N_a=p$  olmalıdır. Bu değer,  $p=11,50\Omega\cdot m$  özdirenç kullanılarak (17) denkleminden bulunan serbest taşıyıcı yoğunluğu değeri olan  $p=1,21\times 10^{19}\text{ m}^{-3}$  sonucu ile uyum içindedir. Bu, serbest taşıyıcıların hemen hemen tamamının iyonlaşmış akseptörlerle sağlanığını göstermektedir.

KAYNAKLAR

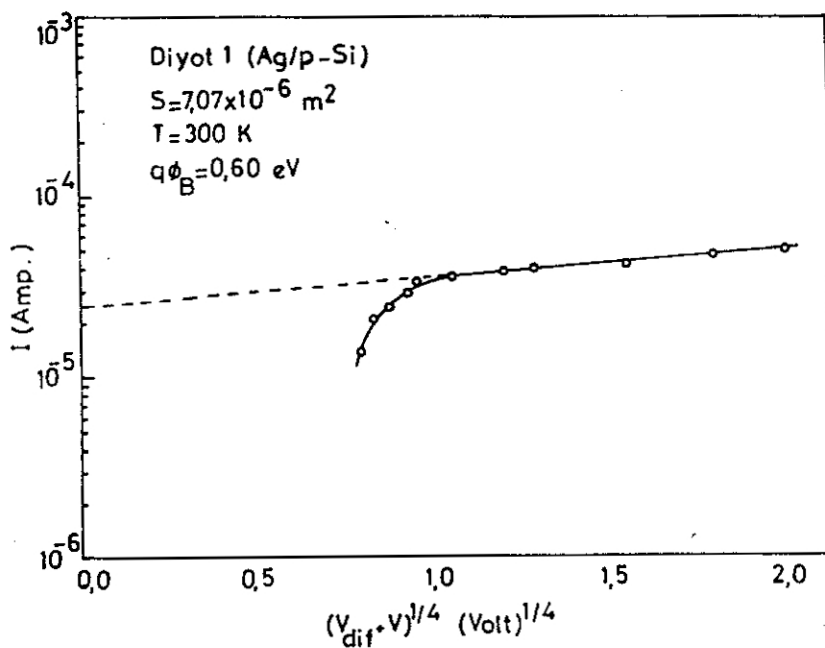
- [1] Norde, H., A Modified Forward I-V plot for Schottky Diodes with High Series Resistance, *J.Appl.Phys.*, 50(7), 5052-53,1979.
- [2] Sato, K., Yasumura, Y., Study of Forward I-V plot for Schottky Diodes with High Series Resistance, *J.Appl.Phys.*, 58(9), 3655-57, 1985.
- [3] Cheung, S.K., Cheung, N.W., Extraction of Schottky Diode Parameters from Forward Current-Voltage Characteristics, *Appl.Phys. Lett.*, 49(2) 85-87, 1986.
- [4] Sze, S. M., *Physics of Semiconductor Devices*, Second Edition, New York, J.Wiley and Sons, 254-58,850, 1981.
- [5] Güvenç, M. G., Büget, U., Current Flow in p-Type Space-Charge-Limited Silicon Diodes *J.Phys. D:Appl.Phys.*, 3,1990-92, 1970.
- [6] van der Ziel, A., *Solid State Physical Electronics*, Second Edition, New Jersey, Prentice-Hall, Inc., 266-72, 1968.
- [7] Yıldırım, M., Efeoğlu, H., Yoğurtçu, Y.K. Nötronlarla İşinlamanın ve Su Veriminin P-tipi Silisyumun Özdirenci ve Taşıyıcı Yoğunluğu Üzerine Etkileri, Türk Fizik Derneği 9. Ulusal Fizik Kongresi, Bursa, YMF-1.6, 1987.



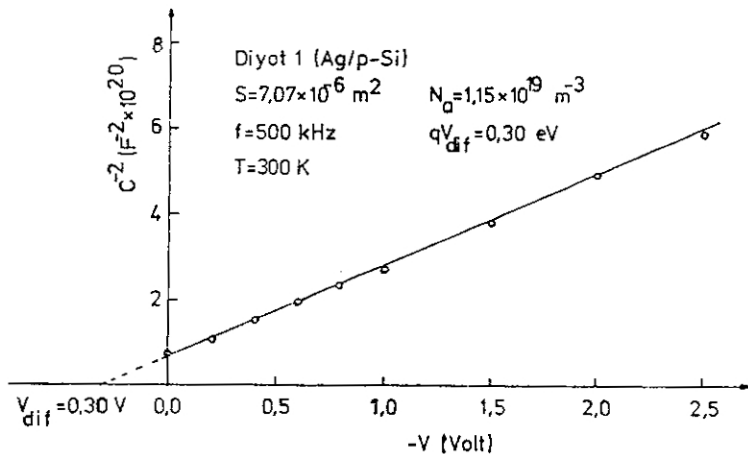
Şekil - 1 : Ag/p-Si Schottky diyodun doğru ve ters beslem akım gerilim karakteristiği.



Şekil - 2 : Ag/p-Si Schottky diyodun doğru beslem I-V karakteristiginden çizilen [(dv)/d(lnI)]-V ve H(I)-V grafikleri.



Şekil - 3 : Ters beslem akım gerilim değerlerinden çizilen Schottky grafiği.



Şekil - 4 : Ag/p-Si Schottky diyodun ters beslem sığa gerilim ölçülerinden çizilen  $C^{-2}-V$  grafiği.